

Изменение микротвердости при прерывистом резании. Касьян М. В., Минасян Г. С., Багдасарян Г. Б., Арутюнян Г. А. «Известия АН Арм. ССР (серия Т. II)», т. XXIV, № 2, 1971, 3—8

Исследован характер изменения микротвердости обработанной поверхности при неустановившемся резании. Установлена связь между микротвердостью и амплитудой колебания. Сооставление экспериментальных значений микротвердости поверхности вдоль длины резания резца с расчетными дает удовлетворительную сходимость.

Табл. 2. Илл. 2. Библ. 5 назв.

УДК 621.827+513.10

Об одном способе построения кривой круговых точек. Шахбалин К. X., Тапрян В. М. «Известия АН Арм. ССР (серия Т. II)», т. XXIV, № 2, 1971, 9—13.

Предлагается графоаналитический способ построения кривой круговых точек шатуновой плоскости, основой которого лежат уравнения. Далее полученные алгоритм. Построение кривой круговых точек сводится к многократному решению задачи синтеза по положениям шатуновой плоскости при заданных направлениях шатуна, ограниченных с одной стороны. В качестве примера построена кривая круговых точек для механизма с определенными параметрами и для заданных четырех положений.

Табл. 1. Илл. 2. Библ. 1 назв.

УДК 627.81+626.862.9

Расчет процесса заклинения циллиндровых воздухохранлищ. Саноян В. Г. «Известия АН Арм. ССР (серия Т. II)», т. XXIV, № 2, 1971, 11—20.

Приводится метод расчета процесса заклинения и разрушения воздухохранлищ, основанный на решении уравнений, описывающих эти процессы. Для решения уравнений предлагаются численные методы. В результате определяется вид свободной поверхности и очертаение дна, а также распределение напряжений различного диаметра и длины воздухохранлища в любой момент времени. В конце дается приближенный способ для определения закономерности изменения отметки дна воздухохранлища в процессе заклинения.

Илл. 2. Библ. 3 назв.

УДК 621.517+531.112+531.42

О скорости и длине движения при пневмотранспорте и взрыве пыли. Гаспарян А. М., Алмасян М. А., Ахонян Р. Е. «Известия АН Арм. ССР (серия Т. II)», т. XXIV, № 2, 1971, 21—28.

Показано, что при движении взвеси по трубам потери на трение по ходу транспорта увеличиваются, тогда как для жидкостей они остаются постоянными, а для пыли—возрастают. Установлено, что концентрация твердых частиц в пылении (у входа в трубу) равна концентрации этих частиц и взрывной смеси. Экспериментально проверены уравнения, описывающие изменение концентрации скорости и удельного веса взвеси по ходу транспорта. Рассмотрен процесс критической скорости движения взвеси по горизонтали.

Табл. 1. Илл. 2. Библ. 1 назв.

Установившееся движение воздуха с переменным расходом вдоль пути в условиях кругового кожуха центробежного вентилятора электрической машины Макарян Г. А. «Известия АН Арм. ССР (серия Т. II)», т. XXIV, № 2, 1971, 29—37.

Сделана попытка разработать гидродинамическую теорию установившегося движения воздуха с переменным расходом вдоль пути в условиях кругового кожуха центробежного вентилятора электрической машины. При рассмотрении вопроса сделано 8 допущений и пренебрегаются измерениями плотности при движении воздуха со скоростью до 100 м/сек.

Табл. 3. Библ. 4 назв.

УДК 539.215+621.01

К исследованию сдвига на контакте «металл-теплопроводная поверхность» Спичин В. А., Виноградов Г. А., Оганян Р. Л. «Известия АН Арм. ССР (серия Т. II)», т. XXIV, № 2, 1971, 38—47.

Проанализированы условия сдвига на контакте «теплопроводная поверхность» и методы экспериментального построения функции коэффициента сдвига в зависимости от нормальной нагрузки на контакт.

Табл. 1. Илл. 5. Библ. 10 назв.

УДК 621.04+62-26+531

Колесания цилиндрической оболочки, обладающей сечением Мовсисян Л. А., Саркисян В. Г. «Известия АН Арм. ССР (серия Т. II)», т. XXIV, № 2, 1971, 48—53.

Рассматриваются собственные колебания замкнутой цилиндрической оболочки с поперечным сечением вида овала и цилиндрической пилели с сечением вида полуовала. В качестве исходных уравнений принимаются соответствующие уравнения полой оболочки, в которых учитываются силы инерции, нормальные к срединной плоскости. Даются общие решения для овала, частично овала с числовыми примерами.

Табл. 2. Илл. 1. Библ. 3 назв.

УДК 539.378.6+517.7

Перераспределение постоянного поля и дисперсной системы с эллипсоидальными включениями малой концентрации Карапетян М. А., Григорян В. А., Арутюнян В. В. «Известия АН Арм. ССР (серия Т. II)», т. XXIV, № 2, 1971, 54—57.

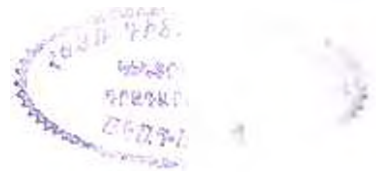
При малой концентрации включений постоянным влиянием полей локализованных введённых эллипсоидов можно пренебречь, так как расстояния между ними намного больше их размеров. При этих условиях поляризуемое эллипсоидное поле равняется однородному полю и дисперсионной среде и распределение поля между компонентами системы в первом приближении будет таким же, как и для электростатического поля в вакууме с одним диэлектрическим эллипсоидом. Однако с течением времени поле перераспределяется под воздействием приводящих реальной дисперсионной среды и эллипсоида. В работе получен закон перераспределения постоянного поля во времени, определена формула электрического момента эллипсоида. Получены соответствующие формулы для частного случая сфера, диска и шара.

Илл. 11. Библ. 3 назв.

К расчету активного сопротивления сталеалюминиевых проводов на промышленной частоте. Мазин К. Р. «Известия АН Арм. ССР (серия Т. Н.)», т. XXIV, № 2, 1971, 58—66

На основе анализа влияния основных конструктивных факторов на электрические параметры сталеалюминиевых проводов показано, что независимо от числа проводов инженерный расчет эквивалентного сопротивления должен производиться как с учетом потерь в стали от продольного потока, так и с учетом поперечностного эффекта по сечению проводов.

Табл. 2. Илл. 2. Библ. 10 назв.



Отпечатки замеченные в № 1, т. XXIV, 1971.

Страница	Строка	Напечатано	Следует читать
35	16 сверху	<i>հրճվարարում</i>	<i>հրճվարարում</i>
50	1 снизу	Здесь	Здесь
57	2 сверху	Доказан	Известия
61	21 сверху	уставки	установкам